

GYFS – 6/12/24/36/48/72/96 G.652D

Cable cross-section and dimensions

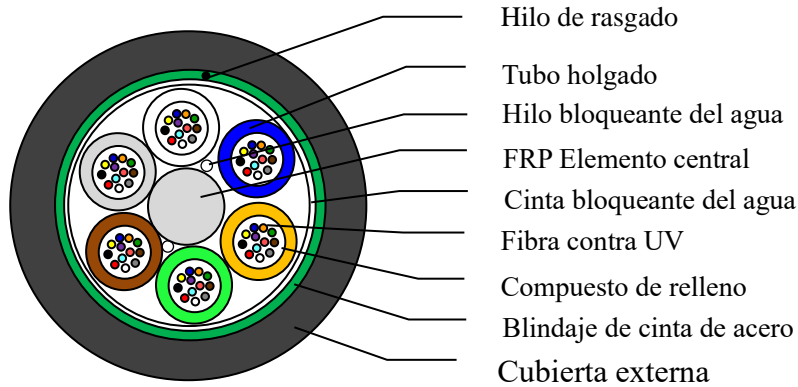


Figura. Sección de corte del cable (Punta-A)

| Item | Material | Descripción |
|-------------------------------|---|--|
| Cubierta externa | HDPE | HDPE |
| Blindaje de cinta de acero | Cinta de acero recubierta por dos lados | Cinta de acero recubierta por dos lados |
| Envoltura | Hilo de Polyester | Envoltura sobre el núcleo |
| Cinta bloqueante del agua | Cinta bloqueante del agua | Bloqueo de agua y humedad |
| Hilo de rasgado | Hilados de aramida | 2 Hilos de rasgado |
| Tubo holgado | PBT | Color del tubo: Azul, Naranja, Verde, Marrón, Gris, Blanco, Rojo, Negro |
| Compuesto de relleno del tubo | Gel tixotrópico | Bloqueo de agua y humedad |
| Fibra | G.652D | Fibra óptica, con color : Azul, Naranja, Verde, Marrón, Gris, Blanco, Rojo, Negro, Amarillo, Violeta, Rosado, Turquesa |

Figura. Descripción de Cable

| Ítem | Value | Value | Value | Value | Value | Value |
|--|---------------|----------|----------|----------|----------|----------|
| Cable Cores | 6 | 12 | 24 | 36 | 48 | 72 |
| No. of Tubes | 1 | 1 | 2 | 3 | 4 | 6 |
| Número fo/tubo | 6 | 12 | 12 | 12 | 12 | 12 |
| No.of Fillers | 5 | 5 | 4 | 3 | 2 | / |
| Diámetro nominal del cable (mm) | 10.7±0.5 | 11.4±0.5 | 11.4±0.5 | 11.4±0.5 | 11.4±0.5 | 11.4±0.5 |
| Peso nominal del cable(kg/m) | 103±15 | 115±15 | 115±15 | 115±15 | 115±15 | 115±15 |
| Tensión(N) | 2000 | 2200 | 2200 | 2200 | 2200 | 2200 |
| Resistencia al aplastamiento admisible (N) | 1000N /10cm | | | | | |
| Temperatura de operación | -20°C ~ +65°C | | | | | |

Características de fibra G652D

| Características Ópticas | | |
|---|----------------------------------|--------------------------------|
| Atenuación | @1310nm | ≤0.350dB/km |
| | @1550nm | ≤0.21dB/km |
| | @1625nm | ≤0.24dB/km |
| Dispersión | @1550nm | ≤18ps/(nm·km) |
| | @1625nm | ≤22ps/(nm·km) |
| Longitud de onda de dispersión zero | | 1300nm~1324nm |
| Pendiente de dispersión zero | | ≤0.092ps/(nm ² ·km) |
| Diámetro de campo modal @ 1310nm | | 9.2±0.4μm |
| Diámetro de campo modal @ 1550nm | | 10.5±1.0μm |
| PMD | Max. para la fibra en el carrete | 0.20ps/km ^{1/2} |
| | Max. del valor de enlace | 0.10ps/km ^{1/2} |
| Longitud de onda de corte λ _{cc} (nm) | | ≤1260nm |
| Características de Retrodispersión (@ 1310nm&1550nm) | | |
| Discontinuidades de pérdida | | ≤0.05dB |
| Uniformidad en la atenuación | | ≤0.05dB/km |
| Diferencia del coeficiente de atenuación de la medición bidireccional | | ≤0.05dB/km |
| Características Geométricas | | |
| Diámetro de revestimiento | | 125±1.0μm |
| Error de circularidad del revestimiento | | ≤1% |
| Error de concentricidad del campo modal | | ≤0.6μm |
| Diámetro de recubrimiento | | 245±5μm |
| Error de concentricidad del recubrimiento | | ≤12.5μm |
| Enrollamiento de fibra | | ≥4m |
| Características mecánicas | | |
| Proof test | | ≥0.69GPa(100kpsi) |

| | | |
|---|--------------------------------|----------------------|
| Fuerza de Pelado | | 1.4N |
| Factor de corrosión por stress Nd(dinámico) | | ≥ 20 |
| Atenuación debido a la macro curvatura @ 1550nm | $\Phi 60\text{mm}$,100 ciclos | $\leq 0.10\text{dB}$ |
| | $\Phi 32\text{mm}$,1ciclos | $\leq 0.10\text{dB}$ |